

بررسی عددی رفتار اتصالات تیر پیوند خمشی با مقطع کاهاش یافته به ستون

فخرالدین احمدی دانشآشتیانی^۱، علی ناصری فر^{۲*}

اطلاعات مقاله	چکیده
دریافت مقاله: ۱۳۹۳/۰۹/۲۳ پذیرش مقاله: ۱۳۹۴/۰۲/۰۲	قاب‌های برون محور فولادی، ویژگی سختی الاستیک بالا که در قاب‌های با مهاربندی هم محور وجود دارد و خاصیت استهلاک پایدار انرژی که در قاب‌های خمشی موجود است را همزمان دارند. در این نوع از سیستم‌های مقاوم لرزه‌ای، انرژی اغلب از طریق تیرهای پیوند مستهلاک می‌گردد که به سه نوع تیر پیوند کوتاه برشی، تیر پیوند متوسط با رفتار برشی-خمشی و تیر پیوند بلند خمشی تقسیم می‌شوند. اتصال تیر پیوند به ستون در قاب‌های برون محور فولادی با استیگمیتی خمشی و نیروهای برشی بسیار بالایی را تحمل کند تا تیر پیوند به دوران پلاستیک مورد نیاز دست یابد. اتصال تیر پیوند بلند به ستون بدليل پتانسیل گسیختگی بالای آن در اتصال بال تیر پیوند به ستون در معرض شکست بوده و قابل کاربرد در مناطق با لرزه خیزی شدید نمی‌باشد. برای غلبه بر این مشکل با استیگمیتی تمرکز تنش و کرنش را از انتهای تیر پیوند در محل اتصال به ستون دور نگه داشت. استفاده از تیر پیوند با مقطع کاهاش یافته می‌تواند مفصل پلاستیک را به ناحیه با مقطع کاهاش یافته انتقال داده و از شکست اتصال جلوگیری کند. این مقاله کاربرد روش کاهاش مقطع (RBS) در تیرهای پیوند بلند و رفتار اتصال تیرهای پیوند بلند با مقطع کاهاش یافته به ستون را مورد بررسی قرار می‌دهد. تحلیل‌ها با استفاده از نرم افزار المان محدود ABAQUS انجام گرفته و نتایج آنالیزها نشان می‌دهد که با این روش تمرکز تنش و کرنش از انتهای تیر پیوند در نزدیک وجه ستون تا حدود زیادی دور شده و رفتار اتصال بهبود می‌یابد.
واژگان کلیدی: تیر پیوند، RBS، تحلیل عددی، اتصال.	

و رفتار آن در شکلهای مختلف مورد بررسی قرار گرفته است [۲۱]. تیرهای پیوند به شکل‌های مختلف تیرهای پیوند کوتاه که به شکل برشی تسلیم می‌شوند، تیرهای پیوند بلند که در خمث تسلیم می‌شوند یا تیرهای پیوند متوسط هستند که در ترکیب نیروی برشی و خمثی تسلیم می‌شوند [۱]. همانطور که گفته شد، معمولاً تیرهای پیوند

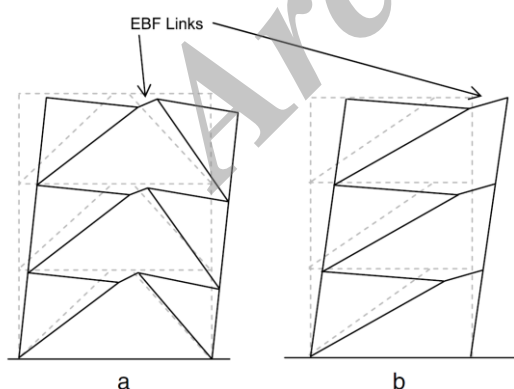
۱- مقدمه

بیش از دو دهه است که قاب‌های مهاربندی شده و اگرا به عنوان سیستم مقاوم در مقابل بارهای لرزه‌ای مورد استفاده قرار می‌گیرند. این سیستم که بر پایه تسلیم تیر پیوند مابین دو بادبند یا بین بادبند و ستون می‌باشد تحت بارهای لرزه ای شکل پذیری و استهلاک انرژی مناسبی نشان داده است

*، پست الکترونیک نویسنده مسئول: Anaserifar@kntu.ac.ir
۱. دانشیار، دانشکده مهندسی عمران، دانشگاه صنعتی خواجه نصیرالدین طوسی
۲. دانشجوی دکترای سازه، دانشگاه صنعتی خواجه نصیرالدین طوسی

روش، روش مناسبی نمی‌باشد. روش دیگری که می‌توان تمرکز تنش و کرنش را از محل اتصال تیر پیوند به ستون دور کرد، بکار بردن تیر پیوند با مقطع کاهش یافته^(۱) همانند تیر با مقطع کاهش یافته^(۲) (RBS) در قابهای EBF^(۳) خمی می‌باشد. با اعمال این روش در قابهای EBF محل کرنش‌های پلاستیک شدید و تغییرشکل‌های توام با آن در بال تیر پیوند از جوش‌های نفوذی حساس در انتهای تیر پیوند و وجه ستون دور شده و به قسمتی که مقطع تیر پیوند در آنجا کاهش پیدا کرده، انتقال پیدا می‌کند. همانند اتصالات RBS، هدف از اتصالات RLS، کاهش کرنش‌های پلاستیک در جوش‌های انتهایی تیر پیوند می‌باشد که در معرض گسیختگی می‌باشند. با کاهش کرنش‌های پلاستیک بوجود آمده در محل بحرانی اتصال، گسیختگی اتصال به تاخیر افتاده و شکل پذیری کلی تیر پیوند نیز باقیستی بهبود یابد.

برمان و همکاران^[۶] کاربرد تیر پیوند با مقطع کاهش یافته را به صورت عددی در تیرهای پیوند با طول مختلف مورد بررسی قرار دادند. این تحلیل‌ها نشان داد که با بکار بردن RLS، کرنش‌های پلاستیک در محل‌های بحرانی مستعد ترک و شکست برای مثال بال انتهایی تیر پیوند به طور قابل ملاحظه‌ای در مقایسه با تیرهای پیوند بدون کاهش مقطع، کاهش پیدا می‌کند.



شکل ۱- قابهای EBF با تیرهای پیوند میانی و تیرهای پیوند متصل به ستون [۳]

یا متصل به ستون هستند یا مابین دو بدبند قرار می‌گیرند. تیرهای پیوند که به ستون متصل هستند ظرفیت دوران غیراتجاعی کمتری از تیرهای پیوند میانی دارند. زیرا این نوع تیرهای پیوند در اتصالات دچار گسیختگی می‌شوند^[۳]. آزمایش‌های قبلی که توسط محققین دیگر بر روی تیرهای پیوند متصل به ستون انجام گرفته است نشان داده است که این اتصالات بدليل گسیختگی جوش نفوذی در محل اتصال بال تیر پیوند به ستون یا گسیختگی بال تیر پیوند در نزدیکی جوش نفوذی دچار خرابی می‌شود^[۴]. بدليل مشکلاتی که عنوان شد، آینه‌نامه طراحی لرزه‌ای آمریکا AISC2005^[۵] تا زمانی که آزمایش‌های تکمیلی بر روی این اتصالات انجام نگرفته است طراحان را از بکار بردن تیر پیوند متصل به ستون منع کرده است.

در بین سه نوع مختلف تیر پیوند از نظر طول، تیرهای پیوند برشی بدليل شکل پذیری و سختی و مقاومت بهتر، بیشتر توصیه شده است. به این دلیل بیشتر تحقیقات گذشته بر روی بررسی عملکرد این نوع تیر پیوند متتمرکز شده است. اما به نظر می‌رسد الزامات عملکردی و معماری جهت داشتن بازشوهای بزرگ در دهانه‌های مهاربندی شده دلیل اصلی تمایل به استفاده از تیرهای پیوند بلند در قابهای مهاربندی شده واگرا می‌باشد. کاربرد قابهای با تیرهای پیوند متصل به ستون بیشتر مورد توجه می‌باشد بدليل اینکه از نظر معماری دارای انعطاف پذیری بیشتری می‌باشد. زیرا مکان‌های مختلفی برای جایگذاری درها و پنجره‌ها در این شکل سیستم وجود دارد.

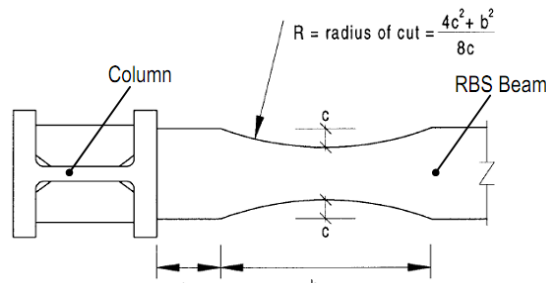
عملکرد ضعیف اتصالات تیر پیوند به ستون ممکن است با کاهش تنش و کرنش‌های شدید در نزدیکی جوش‌های بحرانی اتصال بال تیر پیوند به ستون بهبود یابد. برای رسیدن به این هدف، Prinz و همکاران^[۳] جان تیر پیوند را در نزدیکی اتصال سوراخ کرده و به طور عددی این مساله را مورد مطالعه قرار دادند. ولی به دوران پلاستیک هدف و مورد نیاز دست نیافتند و به این نتیجه رسیدند که این

^۳ Eccentrically Braced Frames

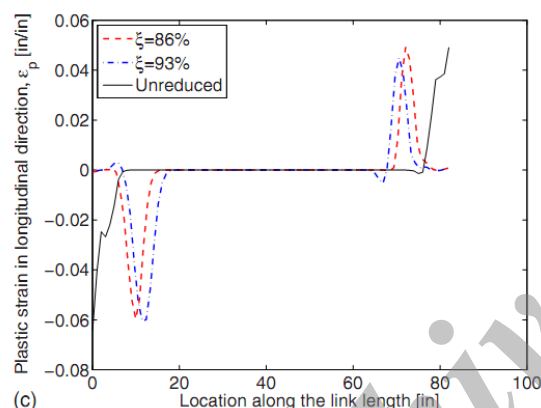
^۱ Reduced Link Section

^۲ Reduced Beam Section

کاهش یافته با طولهای مختلف مورد بررسی قرار گرفت و به این نتیجه رسیدند که با کاهش مقطع تیر پیوند مفصل پلاستیک از انتهای تیر پیوند دور شده و به ناحیه کاهش یافته انتقال پیدا می کند که نتایج آن در شکل ۳ نشان داده شده است.



شکل ۲- جزئیات اتصال تیر با مقطع کاهش یافته به ستون [۷]



شکل ۳- کرنش پلاستیک در وسط بال تیر پیوند و در طول آن [۶]

۳- هدف و ضرورت تحقیق

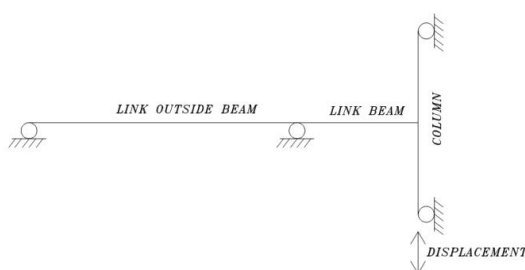
مدل عددی که برمان و همکاران [۶] استفاده کرده بودند فقط شامل تیر پیوند بوده که المان‌های مجاور نظیر ستون، بادبند و تیر خارج از پیوند در آن مدل‌سازی نشده بود. به همین دلیل شرایط مرزی استفاده شده در مطالعات آنها ممکن است غیر واقعی باشد و نتایج بدست آمده با واقعیت متفاوت باشد. در مقاله حاضر رفتار تیر پیوند خمی با مقطع کاهش یافته با شرایط مرزی نزدیک به واقعیت مورد بررسی قرار گرفته است. به این منظور بعد از صحت سنجی روش مدل‌سازی، روش RBS به تیر پیوند بلند در شرایط واقعی با المان‌های مجاور اعمال گردیده و رفتار اتصال تیر پیوند به ستون مورد بررسی قرار گرفته است.

۲- تیر پیوند با مقطع کاهش یافته

با در نظر گرفتن توزیع لنگر خمی، بالهای تیر را می‌توان به طور عمد تضعیف کرد تا رفتارهای غیرارتجاعی در ناحیه ضعیف شده متتمرکز گردد. این درحالی است که لنگر بوجود آمده در اتصال تیر پیوند به ستون محدود شده است. اشکال مختلف RBS نظیر برش ثابت، برش ذوزنقه‌ای، سوراخ‌دار و برش دایره‌ای قبل پیشنهاد گردیده و مورد آزمایش قرار گرفته‌اند. در بین این اشکال متنوع، در عمل و در تحقیقات از RBS با برش دایره‌ای بدلیل ساخت آسان و نتایج آزمایشها استقبال زیادی صورت گرفته است. انگلهارت و همکاران [۷] به این نتیجه رسیدند که تمرکز تنش در برش‌های تیز بال می‌تواند باعث ترک گردد در حالی که تغییر مقطع‌های صاف نظیر برش دایره‌ای می‌تواند به نتایج بهتری از نظر عملکرد منجر شود. رفتار با شکل-پذیری پایدار اتصالات RBS با برش دایره‌ای توسط تعداد زیادی از مطالعات در گذشته مورد تایید قرار گرفته است. این نوع از اتصالات که در سند اتصالات از پیش تایید شده [۸] توضیح داده شده و در شکل (۲) نشان داده است به طور عمد بر اساس کارهایی است که توسط انگلهارت و همکاران [۹] و جونز و همکاران [۱۰] انجام گرفته است. با استفاده از ابعادی که در شکل ۲ برای RBS نشان داده شده است محل مفصل پلاستیک در تیر قابهای خمی ویژه از وجه ستون به وسط قسمت RBS منتقل می‌گردد. بدلیل اینکه تنشهایی که نزدیک جوش‌های بال تیر به ستون بوجود می‌آیند محدود هستند، اتصال RBS از پیش تایید شده تا حدودی حساسیت کمتری نسبت به کیفیت جوش-های بال تیر به ستون دارد.

اگرچه کاربرد روش RBS در قابهای خمی ویژه به طور گسترده در گذشته مورد بررسی قرار گرفته است ولی کاربرد این روش در تیر پیوند بدلیل گرادیان شدید لنگر خمی و همچنین طول نسبتاً کوتاه تیر پیوند در مقایسه با تیر در قابهای خمی، مورد تردید می‌باشد. برمان و همکاران [۶] رفتار تیر پیوند با مقطع کاهش یافته را به طور عددی مورد بررسی قرار دادند. در مطالعات آنها، تیر پیوند با مقطع

ایزوتروپیک مدل گردیده است. با توجه به اینکه کاوش مقاومت مصالح در تحلیل‌های المان محدود مدل‌سازی نشده است. در نتیجه در صورتی که در تحلیل‌ها، کاوشی در مقاومت نمونه‌ها مشاهده گردد، می‌تواند در نتیجه‌ی کمانش‌های موضعی باشد. شرایط مرزی و پروتکل بارگذاری مدل عددی همانند مدل آزمایشگاهی می‌باشد که در شکل ۵ نشان داده شده است.



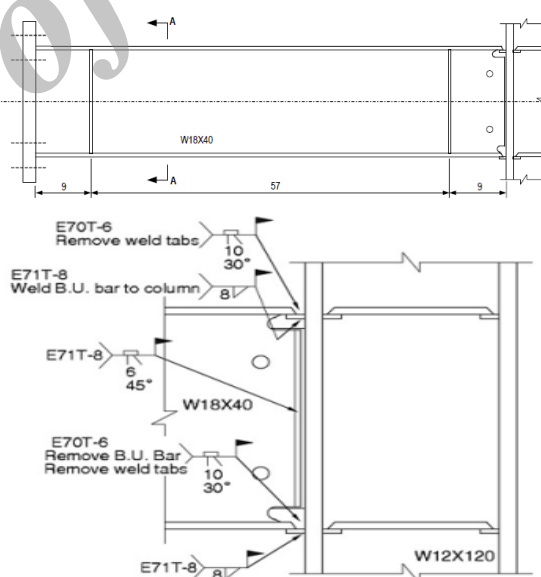
شکل ۵- شرایط مرزی و بارگذاری

در این مطالعات برای صحبت‌سنجدی روش مدل‌سازی، مدل عددی تحت بارگذاری مونوتونیک قرار گرفته و نتایج آن با نتایج بارگذاری چرخه‌ای نمونه آزمایشگاهی با مقایسه کامل که توسط اکازاکی و همکاران [۶] انجام گرفته است (نمونه MWM) مورد مقایسه قرار گرفته است. مقایسه‌ها شامل رفتار کلی و محل تشکیل مفصل پلاستیک می‌باشد. در شکل ۶ دیاگرام نیروی برشی تیر پیوند در مقابل دوران انتهایی آن، برای مطالعه عددی و آزمایشگاهی نشان داده شده است که نشان می‌دهد مطابقت خوبی بین این دو مطالعه وجود دارد.

به منظور ارزیابی محل شروع خرابی، کرنش پلاستیک معادل (PEEQ) به عنوان معیار آسیب در این مطالعه انتخاب شده است که نشان می‌دهد در تحلیل‌های عددی مقدار حداقل این پارامتر در بال تیر پیوند در نزدیکی اتصال رخ می‌دهد. نتایج آزمایشگاهی مطابق شکل ۷ نیز شروع خرابی را در این محل نشان. در این شکل مقادیر پارامتر کرنش پلاستیک معادل PEEQ در تغییرمکان نسبی ۳٪ با نمونه آسیب دیده آزمایشگاهی مقایسه شده است. همانطور که این شکل نشان می‌دهد مقادیر حداقل پارامتر PEEQ

۴- صحبت سنجدی مدل‌سازی

برای صحبت‌سنجدی مدل‌سازی عددی، نمونه MWM از مطالعات آزمایشگاهی اکازاکی و همکاران [۴] انتخاب شده است. در این نمونه تیر پیوند بلند با جوش نفوذی کامل به ستون متصل شده بود. ابعاد و هندسه این نمونه آزمایشگاهی در شکل ۴ نشان داده شده است. از دو عدد سخت کننده در یک طرف جان و در دو انتهای تیر پیوند استفاده شده که ضخامت آنها ۸ میلیمتر بوده است. ورق‌های پیوستگی با ضخامت ۱۴ میلیمتر به موازات بال تیر پیوند در طرفین جان ستون استفاده شده بود. در مدل‌سازی عددی که برای صحبت‌سنجدی استفاده شده است، مشخصات فولادی که برای تیر و ستون استفاده شده است همانند نمونه آزمایشگاهی با تنیش تسليم ۳۵۹ مگاپاسکال و مدول الاستیسیته ۲۱۰ گیگاپاسکال ولی صورت دو خطی در نظر گرفته شده است.



شکل ۴- نمونه آزمایشگاهی [۴]

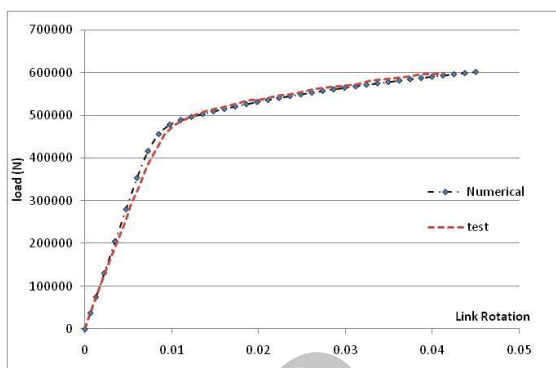
در این مقاله از نرم افزار المان محدود ABAQUS [۱۱] برای مدل‌سازی عددی استفاده شده است. در این نرم افزار از المانهای یکپارچه ۸ گرهی جهت مدل‌سازی بالهای و جان تیر پیوند و ستون و تیر خارج از پیوند استفاده شده است. در تحلیل‌ها اثرات غیرخطی هندسی و مصالح در نظر گرفته شده است. رفتار غیرخطی مصالح با استفاده از مدل

۵- نمونه ها

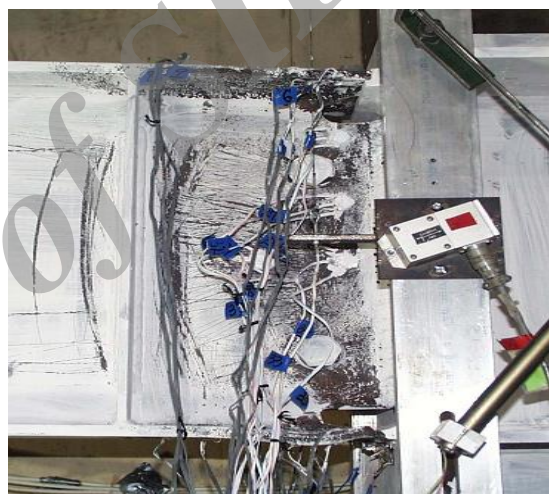
در این مقاله پنج مدل اتصال تیر پیوند خمثی به ستون مورد بررسی قرار گرفته است که در همه مدلها، تیر پیوند بلند به طول ۱۶۰ سانتی متر و با مقطع IPE300 بوده و به طور مستقیم به ستونی با طولی ۲۰۰ سانتی متر، با مقطع IPB240 متصل شده است. تیر خارج از پیوند نیز IPB240 بوده که در انتهای نزدیک تیر پیوند با ورقهایی بر روی بال تقویت شده است. برای مدل سازی تمامی اعضا از المانهای Solid استفاده شده است.

نمونه شماره یک، نمونه رایجی از اتصال مستقیم تیر پیوند به ستون می باشد که بالهای تیر پیوند توسط جوشهای نفوذی کامل، بطور مستقیم به بال ستون متصل شده است. در مطالعه عددی، این نمونه به عنوان نمونه مرجع در نظر گرفته شده که در آن تیر پیوند بلند بدون هیچ نوع اصلاحی به طور مستقیم به ستون وصل شده است. این اتصال شبیه اتصال تیر به ستون در قابهای خمثی می باشد که قبل از زلزله نورثیریج بسیار رایج بوده است. جزئیات نمونه های بعدی طوری طراحی شده است که با استفاده از روش کاهش مقطع تیر پیوند به عملکرد بهتری از اتصال تیر پیوند (2side-RBS) به ستون دست یابیم. در نمونه شماره ۲ (2side-RBS) بال تیر پیوند در دو انتهای آن کاهش یافته و در دو طرف قسمت کاهش یافته از یک جفت سخت کننده و در دو طرف جان استفاده شده است. در شکل شماره ۸-الف بطور شماتیک نشان داده شده است. در نمونه شماره ۳ (1Side-RBS) بال تیر پیوند فقط در انتهای نزدیک به ستون کاهش پیدا کرده است. با توجه به نتایج بدست آمده از تحلیل نمونه های ۲ و ۳ و برای بهبود بیشتر رفتار اتصال، در نمونه های شماره ۴ و ۵ اصلاحاتی به ترتیب در نمونه های شماره ۲ و ۳ انجام گرفته بطوریکه در هر نمونه یک جفت ورق به صورت موازی با جان تیر پیوند در لبه بال تیر پیوند متصل به ستون استفاده شده است که در شکل ۸-ب نشان داده شده است.

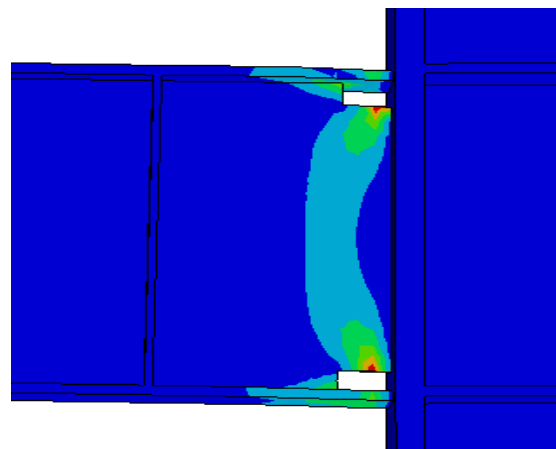
در بالهای تیر پیوند در نزدیکی اتصال رخ می دهد جایی که در نمونه های آزمایشگاهی نیز محل خرابی می باشد.



شکل ۶- منحنی نیروی برشی در مقابل دوران تیر پیوند



شکل ۷-الف) محل خرابی اتصال در نمونه آزمایشگاهی



شکل ۷-ب) محل کرنش های پلاستیک حداقل در مطالعات عددی

نظر گرفته شده برای RBS طبق جدول شماره یک می باشد.

جدول ۱: ابعاد RBS

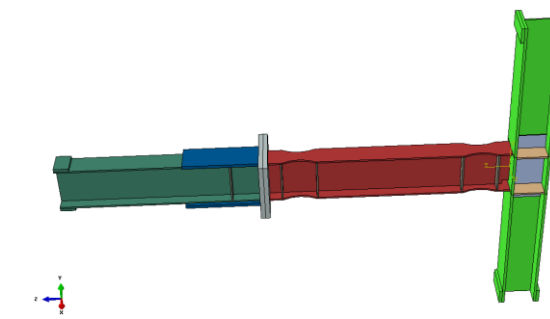
RBS region dimensions	a(mm)	b(mm)	c(mm)
Beam IPE300	90	225	30

۶- نتایج آنالیزها

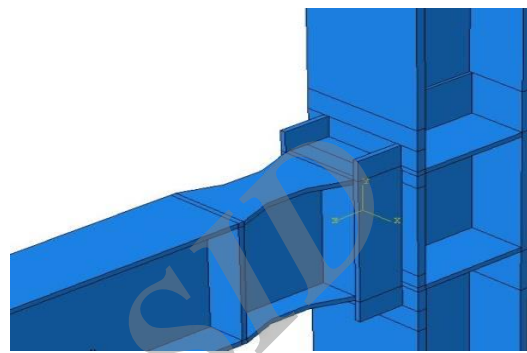
در این مطالعه، نتایج آنالیز همه مدل‌هایی که در بخش قبلی توضیح داده شد تحت بارگذاری مونوتونیک مورد بحث و بررسی قرار گرفته است. منحنی ممان - دوران و نیروی برشی بر حسب دوران انتهای تیر پیوند برای همه مدل‌ها مورد مطالعه قرار گرفته تا رفتار اتصال تیر پیوند خمی با مقطع کاهش یافته به ستون را مورد بررسی قرار دهد. به منظور بررسی تاثیر کاهش مقطع بال تیر پیوند بر روی رفتار اتصال، مقادیر کرنش پلاستیک معادل (PEEQ) و تنش ون مایسز در وسط بال تیر پیوند و در طول آن به عنوان پارامتر اصلی در نظر گرفته شده است.

۶-۱- منحنی لنگر - دوران

پاسخ ممان - دوران اتصال تیر پیوند به ستون که از تحلیلهای المان محدود بدست آمده است در شکل ۱۰ نشان داده شده است. لنگر تیر پیوند در وجه ستون اندازه گیری شده و دوران از تقسیم جابجایی انتهای تیر پیوند به طول آن بدست آمده است. همانطوریکه از شکل ۱۰ قابل مشاهده است ظرفیت خمی پلاستیک همه مدل‌ها از ظرفیت خمی تیر پیوند با مقطع کاهش یافته بالاتر می باشد. همچنین مدل مرجع ظرفیت خمی (M_p) را بعد از دوران ۱٪ رده است. اما نمونه‌های دو طرف RBS بعد از دوران ۲٪ به ظرفیت خمی پلاستیک تیر پیوند بدون کاهش مقطع رسیده است. این مطالعه نشان می‌دهد که همه مدل‌ها، قبل از دوران ۶٪ هیچ نوع کاهش مقاومتی از خود نشان نمی‌دهند. پس بنابراین هیچ نوع کمانش موضعی در آنها مشاهده نمی‌شود. شایان ذکر است که اضافه کردن ورق‌های کناری به اتصال تیر پیوند با مقطع کاهش یافته به ستون تاثیر زیادی در ظرفیت خمی اتصال ندارد.



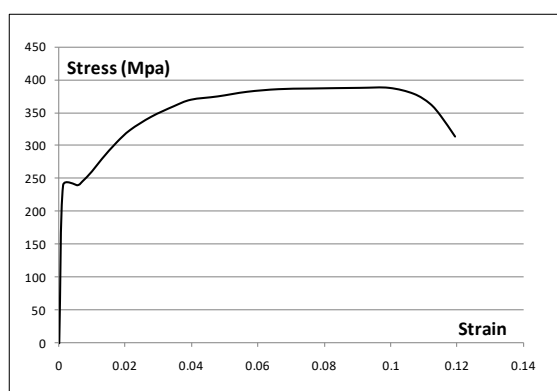
الف



ب

شکل ۸-الف: تصویر شماتیک پیکره بندی اتصال تیر پیوند به ستون و ۸-ب: موقعیت ورقهای تقویتی

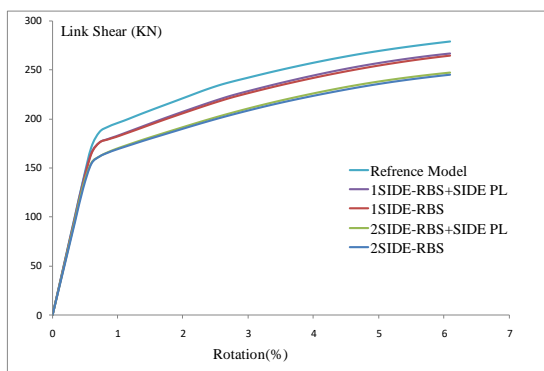
در همه مدل‌ها، شرایط تکیه‌گاهی و بارگذاری به همان صورت است که در شکل ۵ نشان داده شد. فولاد در نظر ۲۴۰ گرفته شده در همه مدل‌ها ST37 با تنش تسلیم ۳۷۰ مگاپاسکال بوده است که منحنی تنش کرنش آن در شکل ۹ نشان داده شده است.



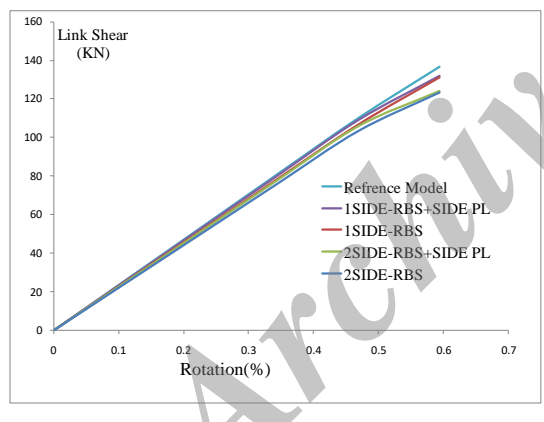
شکل ۹- منحنی تنش کرنش فولاد

جزئیات RBS با برش دایره‌ای که در شکل ۲ نشان داده شده بود در این مطالعه بکار گرفته شده است. اتصالات RBS بر طبق پیشنهاداتی که توسط Engelhardt و همکاران [۱۰] ارائه شده طراحی شده است. ابعاد نهایی در

طبقه در حدود ۳ درصد اندازه گیری شده است. این شکل نشان می‌دهد که کرنش‌های پلاستیک بالا در انتهای تیر پیوندی که مقطع آن کاهش نیافته (مدل مرجع) اتفاق می‌افتد که می‌توان نتیجه گرفت برای تیرهای پیوند خمی، کرنش پلاستیک در انتهای تیر پیوند بسیار چشمگیر بوده و با کاهش مقطع تیر پیوند، محل کرنش‌های پلاستیک حداکثر از انتهای تیر پیوند به مقطع کاهش یافته انتقال پیدا می‌کند.

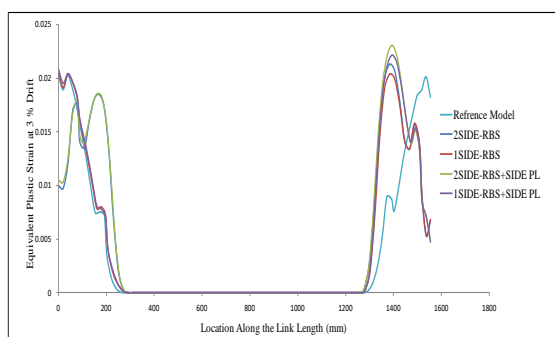


الف

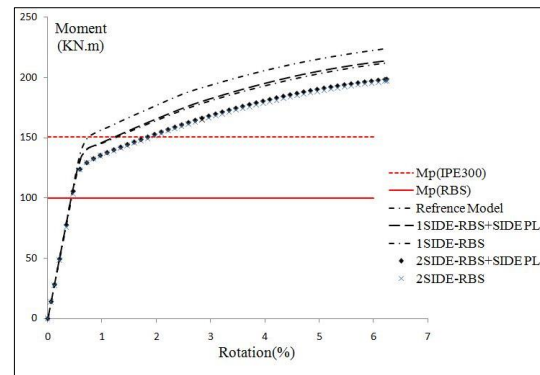


ب

شکل ۱۱- دیاگرام نیروی برشی تیر پیوند در مقابل دوران آن



شکل ۱۲- کرنش پلاستیک معادل در طول تیر پیوند خمی



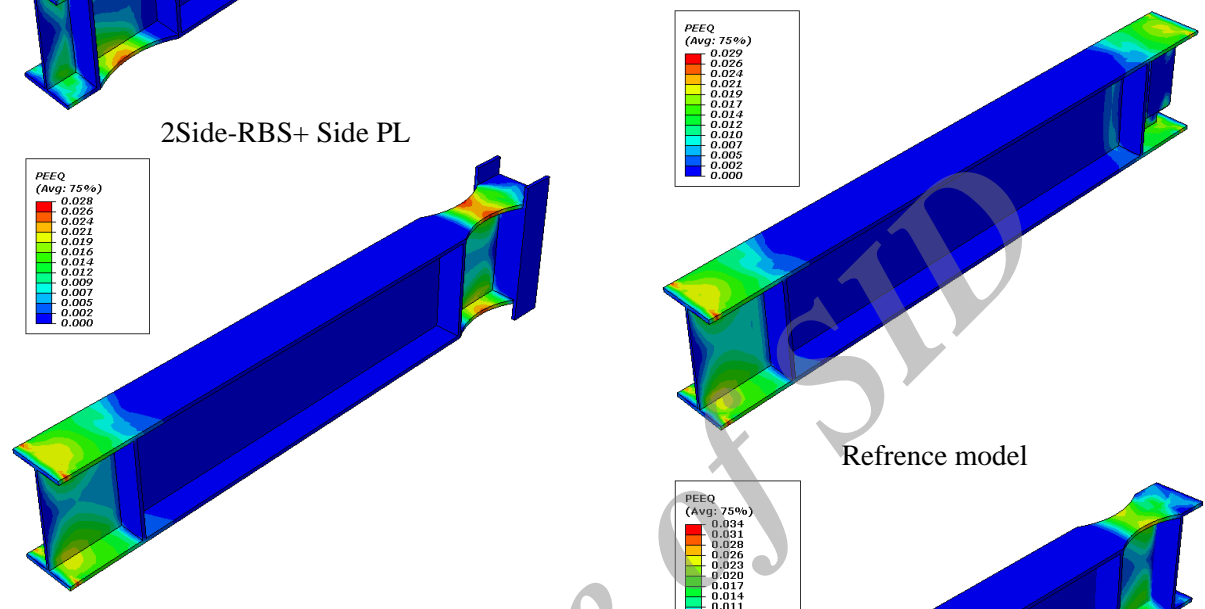
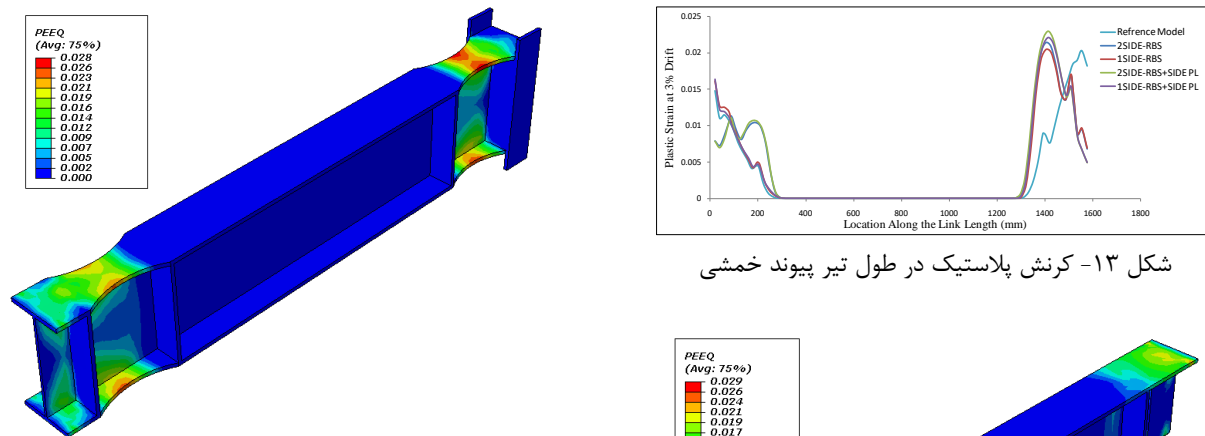
شکل ۱۰- منحنی لنگر- دوران اتصال تیر پیوند به ستون

در شکل ۱۱(الف) منحنی نیروی برشی تیر پیوند در مقابل تغییر شکل انتهایی آن نشان داده شده است. این شکل نشان می‌دهد به طور کل با کاهش مقطع تیر پیوند فقط در انتهای نزدیک ستون (مدل ۳ و ۵) مقاومت خمی در حدود ۷٪ کاهش پیدا کرده است. در حالی که در صورت کاهش مقطع تیر پیوند در هر دو انتهای آن (مدل ۲ و ۴) مقاومت خمی اتصال در حدود ۱۴ درصد کاهش پیدا می‌کند. همان‌طوریکه از این شکل پیداست اضافه کردن ورق‌های کناری به اتصال تیر پیوند به ستون، تاثیر عمداتی در مقاومت و سختی اتصال ندارد.

سختی اتصال همه مدل‌ها در شکل ۱۱(ب) به طور دقیق‌تر نشان داده شده است که نشان می‌دهد با اعمال روش RBS به انتهای تیر پیوند خمی در نزدیکی اتصال سختی اتصال در حدود ۴ درصد کاهش پیدا می‌کند. در حالی که اگر هر دو انتهای تیر پیوند هم نزدیک ستون و هم نزدیک بادند کاهش پیدا کند، سختی اتصال در حدود ۱۰ درصد کاهش پیدا می‌کند. در این آنالیزها به این نتیجه دست یافتیم که افزودن ورق‌های کناری به اتصال در خارج از محدوده RBS تاثیری در سختی اتصال تیر پیوند به ستون ندارد.

۶-۲- کاهش کرنش پلاستیک

شکل ۱۲ و ۱۳ نشان می‌دهد که با کاهش مقطع در تیرهای پیوند خمی چگونه مفصل پلاستیک از انتهای آن دور می‌شود. در این شکل کرنش پلاستیک در طول تیر پیوند و در لایه بیرونی المانهای وسط بال تیر پیوند در مقابل طول تیر پیوند ترسیم شده است. مقادیر کرنش در دریفت کلی

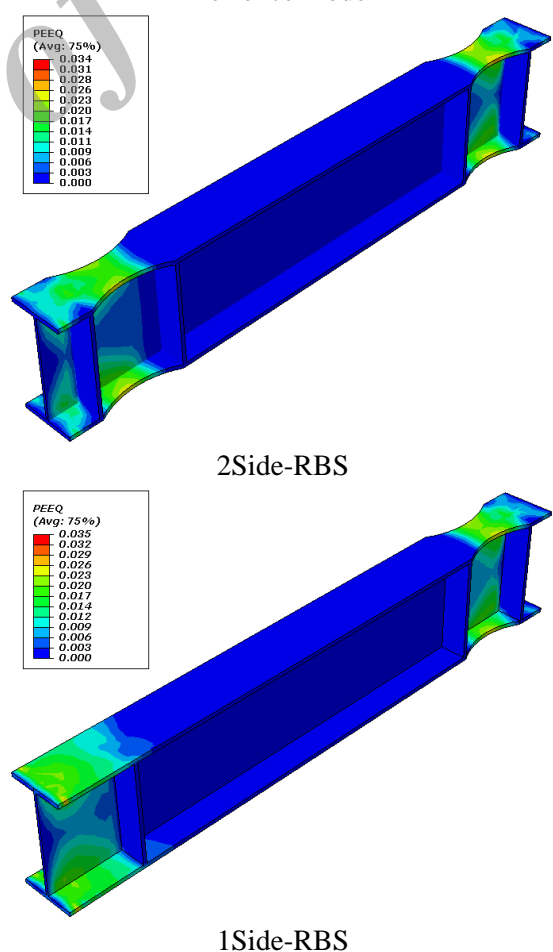


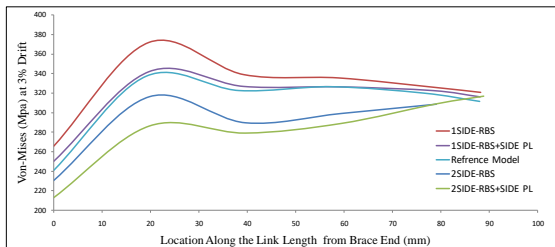
شکل ۱۴ که توزیع PEEQ بر روی تیر پیوند را در دریفت ۳ درصد نشان می‌دهد به طور واضح، مشخص می‌کند که با بکار بردن تیر پیوند خمی با مقطع کاوش یافته تسلیم موضعی شدید و تغییرشکل های موضعی توام با آن، از انتهای تیر پیوند دور می‌شود.

۶- ۳- کاهش تنش

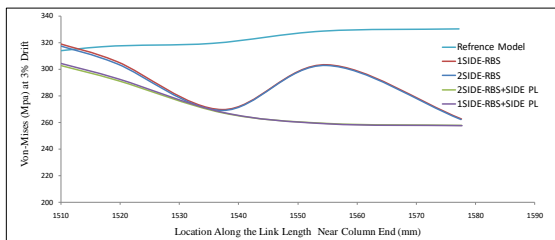
برای اینکه تاثیر کاهش مقطع تیر پیوند در رفتار آن را بهتر متوجه شویم توزیع تنش‌های ون مایسز در طول تیر پیوند برای همه مدلها در شکل ۱۵ نشان داده شده است این مقادیر در لایه بیرونی المانهای وسط بال تیر پیوند و در دریفت برابر ۳ درصد اندازه گیری شده اند.

به طور کلی همانطور که از شکل ۱۵ مشاهده می‌شود، در همه مدل‌ها توزیع تنش ون مایسز طوری است که مقدار حداکثر آن در دو انتهای تیر پیوند بویژه در قسمت RBS حداقل آن در مدل مرجع است. در آن تیر پیوند بدون اتفاق می‌افتد. در مدل مرجع که در آن تیر پیوند بدون





شکل ۱۶- توزیع مقادیر تنش ون مایسز در طول تیر پیوند در انتهای نزدیک بادبند



شکل ۱۷- توزیع مقادیر تنش ون مایسز در طول تیر پیوند در نزدیکی اتصال

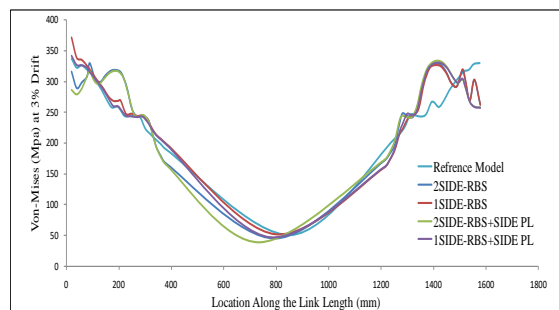
۷- نتیجه گیری

در این مقاله مفهوم استفاده از تیر با مقطع کاهش یافته در تیرهای پیوند خمی مورد بررسی قرار گرفت. مدل سازی ABAQUS عددی با استفاده از نرم افزار المان محدود آزمایشگاهی که قبل از تیر با مقطع محققین دیگر انجام گرفته بود اتصال تیر پیوند خمی در چیدمان واقعی سازه همراه با تیر خارج از پیوند و ستون مدل سازی گردید و مفهوم روش تیر با مقطع کاهش یافته (RBS) به تیر پیوند خمی با پیکربندی های مختلف اعمال شده و مدل سازی گردیده و به صورت عددی مورد بررسی قرار گرفت. همانطوری که نتایج آنالیزها نشان داد با بکار بردن مفهوم RBS در تیرهای پیوند خمی سختی و مقاومت نهایی اتصال کاهش پیدا می کند. نظر به اینکه تمرکز تنش و کرنش بسیار شدیدی در ناحیه بحرانی اتصال تیر پیوند خمی به بال ستون یعنی در قسمت جوش نفوذی بال تیر پیوند به ستون مشاهده می شود با بکار بردن این روش، در همه نمونه ها، تمرکز تنش و کرنش از این ناحیه دورتر شده و به ناحیه ای که مقطع بال تیر پیوند کاهش پیدا کرده است انتقال می یابد.

کاهش مقطع استفاده شده است، حداکثر این مقدار در اتصال بال تیر پیوند به ستون اتفاق افتاده است. در بین مدل ها، بیشترین مقدار این پارامتر در مدل ۳ در انتهای تیر پیوند نزدیک نقطه اتصال بادبند اتفاق می افتد. در مدل فوق الذکر مقدار این پارامتر در انتهای نزدیک بادبند تیر پیوند برابر ۳۷۲ مگا پاسکال می باشد در حالی که در همین لحظه مقدار این پارامتر در قسمت کاهش یافته برابر ۳۲۶ مگا پاسکال می باشد.

در شکل ۱۶ توزیع تنش ون مایسز، در قسمتی از تیر پیوند نزدیک اتصال بادبند به تیر پیوند، در دوران اتصال برابر با ۳ درصد نشان داده شده است که دیده می شود حداکثر مقدار این پارامتر در مدل ۳ اتفاق افتاده است. نتایج نشان می دهد که اگر همزمان با کاهش مقطع از ورق های کناری در اتصال استفاده شود (مدل ۵) مقدار این پارامتر در این ناحیه کاهش پیدا می کند.

از شکل ۱۶ مشخص است که با کاهش مقطع تیر پیوند در انتهای نزدیک بادبند (مدل شماره ۲)، از شدت تنش ون مایسز در این قسمت، در مقایسه با مدل شماره ۳ کاسته شده است. همچنین در صورتی که از ورق های کناری در اتصال تیر پیوند به ستون استفاده شود از شدت تنش ون مایسز بر روی بال تیر پیوند در انتهای نزدیک بادبند کاسته می شود. شکل ۱۷ نشان می دهد که در تیر پیوند خمی با کاهش مقطع آن مقادیر تنش های ون مایسز بر روی بال تیر پیوند در نزدیکی اتصال کاهش پیدا کرده است.



شکل ۱۵- توزیع تنش ون مایسز در طول تیر پیوند

اتصالات تیر پیوند خمشی به ستون و جهت تایید بکارگیری این روش، مطالعات آزمایشگاهی انجام گردد.

این کاہش در مدل شماره ۳ و ۴ که از ورق های جانبی در اتصال استفاده شده است بیشتر مشاهده می شود.

در حالی که نتایج آنالیزها اثر مثبت بکارگیری روش کاہش مقطع در تیرهای پیوند بلند را بطور قابل قبولی نشان می دهد، ولی پیشنهاد می شود قبل از بکارگیری این روش در

-۸- مراجع

- [1] Hjelmstad, K. D., and Popov, E. P. (1983). "Cyclic behavior and design of link beams." *J. Struct. Engrg.*, ASCE, 109(10), 2387-2403.
- [2] Malley, J. O., and Popov, E. P. (1984). "Shear links in eccentrically braced frames." *J. Struct. Engrg.*, ASCE, 110(9), 2275-229.
- [3] Prinz, G.S., Richards, P.W. (2009). "Eccentrically braced frame links with reduced web sections Journal of Constructional Steel Research 65 , 1971-1978
- [4] Okazaki T, Engelhardt MD, Nakashima M, Suita K. (2006) "Experimental performance of link-to-column connections in eccentrically braced frames". *J Struct Eng*;132(8):1201-11.
- [5] American Institute of Steel Construction (2005), (AISC). Seismic provisions for structural steel buildings. Chicago: Standard ANSI/AISC 341-05, AISC.
- [6] Jeffrey W. Berman, Taichiro Okazaki and Heidrun O. Hauksdottir (2010). "Reduced Link Sections for Improving the Ductility of Eccentrically Braced Frame Link-to-Column Connections." *J. Struct. Engrg.*, Vol. 136(5).
- [7] Engelhardt, M. D., Fry, G., Johns, S., Venti, M., and Holliday, S. (2000). "Behavior and design of radius-cut, reduced beam section connections." Rep. No. SAC 00/17, SAC Joint Venture, Richmond, Calif.
- [8] ANSI/AISC "Prequalified Connections for Special and Intermediate Steel Moment Frames for Seismic Applications,"
- [9] Engelhardt, M. D., Winneberger, T., Zekany, A. J., and Potyraj, T. J.(1998). "Experimental investigation of dogbone moment connections." *Eng. J.*, 35(4), 128–139.
- [10] Jones, S. L., Fry, G. T., and Engelhardt, M. D. (2002). "Experimental evaluation of cyclically loaded reduced beam section moment connections." *J. Struct. Eng.*, 128(4), 441–451.
- [11] ABAQUS Version 6.4 Documentation. ABAQUS Inc. (2004).